



БИООРГАНИЧЕСКАЯ ХИМИЯ

том 10 * №11 * 1984

УДК 577.152.143*4'133

НУКЛЕОТИДЫ, КОФЕРМЕНТЫ, ФОСФОРНЫЕ ЭФИРЫ

XXXVI. СИНТЕЗ КОФЕРМЕНТА МОНОАМИНООКСИДАЗЫ

Жилина Т. А., Березовский В. М.

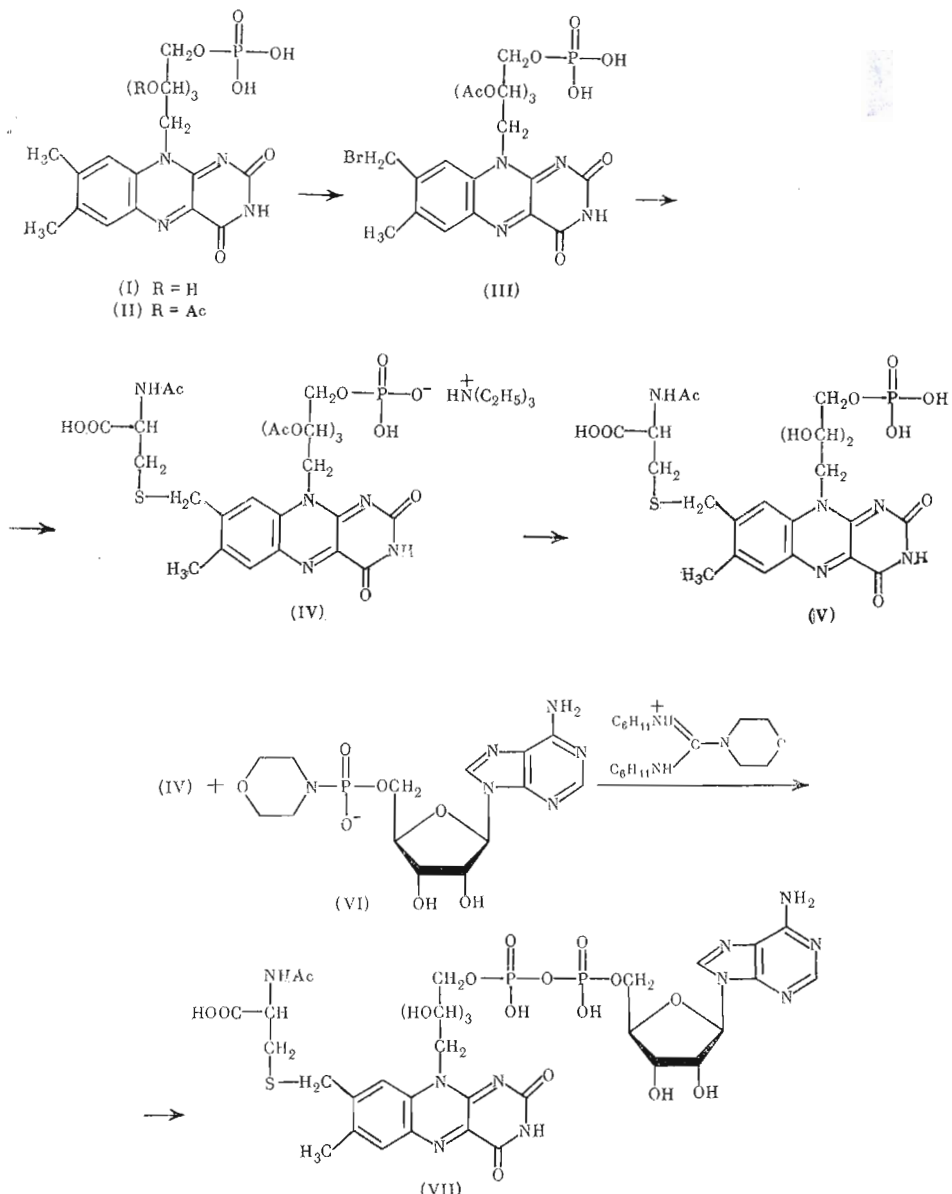
Всесоюзный научно-исследовательский витаминный институт, Москва

Реакцией 8α -бром-2',3',4'-триацетил-FMN с N-ацетил-L-цистеином получен 8α -(N-ацетил-L-цистеин-S-ил)-FMN. Конденсацией триэтиламмониевой соли 8α -(N-ацетил-L-цистеин-S-ил)-2',3',4'-триацетил-FMN и 4-морфолин-N,N'-дициклогексилкарбоксамидиниевой соли морфолида AMP синтезирован 8α -(N-ацетил-L-цистеин-S-ил)-FAD — ацетилкоферментmonoаминооксидазы. Структура полученных соединений подтверждена ИК-, УФ- и видимыми спектрами поглощения, спектрами флуоресценции и КД.

В 1953—1955 гг. Поволоцкая и Букин открыли новый ковалентный тип связи простетической группы флавопротеидов с апоферментом на примере сукцинатдегидрогеназы животного и растительного происхождения [1—3]. Позднее было установлено, что коферментом сукцинатдегидрогеназы (КФ 1.3.99.1) является 8α -(N^ε-гистидино)флавинадениндинуклеотид [4—6]. Такой же ковалентный тип связи был обнаружен в monoаминооксидазе (КФ 1.4.3.4) [7—9], в активный центр которой входит 8α -(цистеин-S-ил)флавинадениндинуклеотид [7—9]. Жесткий кислотный гидролиз monoаминооксидазы приводит к 8α -(цистеин-S-ил)рибофлавину [7—9], который в 1971 г. синтезирован взаимодействием 8α -бром-2',3',4',5'-тетраацетилрибофлавина с гидрохлоридом L-цистеина и последующим гидролизом ацетильных групп рибитильной боковой цепи [10]. 8α -(Цистеин-S-ил)-FAD находится также в цитохроме c-552 *Chromatium* [11, 12] и цитохроме c-553 *Chlorobium thiosulfatophilum* [13, 14].

В настоящей работе мы предлагаем путь синтеза кофермента monoаминооксидазы с защищенной аминокислотной группой — 8α -(N-ацетил-L-цистеин-S-ил)-FAD (VII) и его предшественника — 8α -(N-ацетил-L-цистеин-S-ил)-FMN (V), — исходя из FMN (I) (см. схему). Первоначально ацетилированием FMN (I) получают 2',3',4'-три-O-ацетил-FMN (II), который селективным радикальным бромированием превращают в 8α -бром-2',3',4'-три-O-ацетил-FMN (III) [15, 16]. Бромид (III) затем вводят в реакцию с N-ацетил-L-цистеином. Ранее для 8α -(цистеин-S-ил)рибофлавина со свободной аминогруппой цистеинового остатка была обнаружена способность к легкому расщеплению гидролитическим путем и на свету [17]. В то же время оказалось, что блокирование аминогруппы цистеинового остатка ацетилированием придает 8α -(N-ацетил-L-цистеин-S-ил)рибофлавину устойчивость к гидролизу и окислению [17]. Поэтому для реакции с 8α -бром-2',3',4'-триацетил-FMN (III) мы использовали N-ацетилированный L-цистеин, а не гидрохлорид L-цистеина. В результате взаимодействия соединения (III) с N-ацетил-L-цистеином в диметилформамиде в присутствии триэтиламина в атмосфере азота мы выделили из реакционной массы смесь флавинов, содержащую, по данным ТХ (см. «Экспериментальную часть»), необходимый продукт (IV) в виде триэтиламмониевой соли. В смеси флавинов обнаружена и триэтиламмониевая соль промежуточного продукта синтеза — 2',3',4'-три-O-ацетил-FMN (II).

Водный раствор смеси флавинов имеет pH~2,5; при стоянии раствора (через 18 ч) на хроматограмме появляется пятно продукта с более низкой



подвижностью, что указывает на гидролитическое отщепление ацетильных групп в положениях 2',3' и 4' флавина (IV). Смесь флавинов в водном растворе мы подвергли фракционированию на сефадексе G-40; при этом также наблюдалось гидролитическое отщепление 2',3',4'-O-ацетильных групп, в результате чего происходило превращение флавина (IV) в 8α-(N-ацетил-L-цистеин-S-ил)-FMN (V). В отличие от флавина (IV) мононуклеотид (V) вступает в реакцию с уксусным ангидридом в пиридине (при этом полученный продукт имеет хроматографическую подвижность, аналогичную подвижности производного (IV) — см. «Экспериментальную часть»). Мы полагаем, что нуклеотид (V) является соединением, полностью дезацилированным по полиоксиалкильной цепи, так как его нагревание в аммиачной среде не приводит к дальнейшим изменениям свойств соединения. Спектр поглощения мононуклеотида (V) в УФ- и видимой области (фосфатный буфер, pH 7,0) подобен спектру FMN и рибофлавина и отличается лишь гипсохромным сдвигом максимума второй полосы поглощения (от 373 до 365 нм), что характерно для 8α-заме-

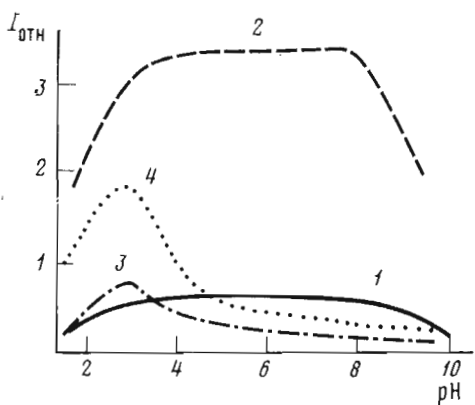


Рис. 1

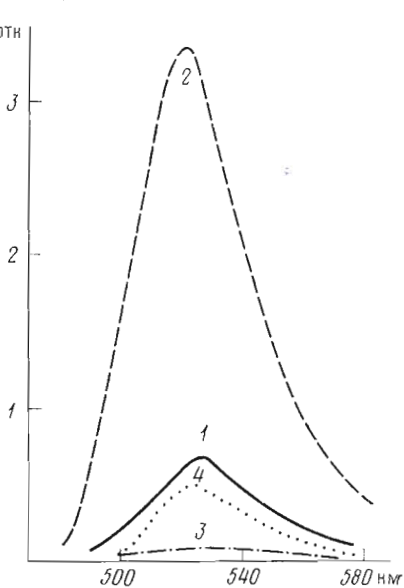


Рис. 2

Рис. 1. Зависимость флуоресценции от pH (c 0,01 г/л, $\lambda_{\text{макс}} 445$ нм, данные некорректированы): 1 - 8 α -(N-ацетил-L-цистеин-S-ил)-FMN(V), 2 - FMN, 3 - 8 α -(N-ацетил-L-цистеин-S-ил)-FAD(VII), 4 - FAD

Рис. 2. Спектры эмиссии флуоресценции в фосфатном буфере (pH 7): 1 - 8 α -(N-ацетил-L-цистеин-S-ил)-FMN(V), 2 - FMN, 3 - 8 α -(N-ацетил-L-цистеин-S-ил)-FAD(VII), 4 - FAD

щенных флавинов [18] (таблица). Флуоресценция мононуклеотида (V) в интервале pH 2–9 постоянна, так же как и для FMN (рис. 1). Однако по сравнению с FMN наблюдается сильное тушение флуоресценции на ~82% (таблица, рис. 2). Ранее отмечалось, что введение в метильную группу положения 8 рибофлавина такого заместителя, как N-ацетил-L-цистеин, вызывает тушение флуоресценции рибофлавина примерно на 90% [10, 19] (таблица). Кривая потенциометрического титрования флавина (V) 0,05 н. NaOH имеет три точки перегиба, которые отвечают pK_{a_1} 4,5, pK_{a_2} 6,4 и pK_{a_3} 8,9, в отличие от FMN (pK_{a_1} 4,6, pK_{a_2} 8,6 – образование моно- и динатриевой соли соответственно). pK_{a_2} 6,4, по-видимому, можно отнести к аминокислотному остатку в положении 8 α , так как pK_a N-ацетил-L-цистеина составляет ~6,5.

При испытании 8 α -(N-ацетил-L-цистеин-S-ил)-FMN (V) на ингибиторную активность по отношению к гликогенфосфорилазе Б (КФ 2.4.1.1) из скелетных мышц кролика было показано, что это соединение примерно в 20 раз более слабый ингибитор, чем FMN [20].

Синтез динуклеотида (VII) мы осуществили из триэтиламмонийевой соли 8 α -(N-ацетил-L-цистеин-S-ил)-2',3',4'-три-O-ацетил-FMN (IV) и 4-морфолин-N,N'-дициклогексилкарбоксамидиниевой соли морфолида (VI) в смеси пиридина и диметилформамида (1:1). При этом обнаружено, что вследствие протекающего в реакционной смеси гидролиза ацетильных групп в положениях 2',3' и 4' флавина (IV) продуктом конденсации является 8 α -(N-ацетил-L-цистеин-S-ил)-FAD (VII). Динуклеотид (VII) выделяли из смеси флавинов в виде натриевой соли гель-фильтрацией на колонке с сефадексом G-25 по методу [21]. Полученные образцы хроматографически однородного динуклеотида (VII) не содержат флуоресцирующих примесей флавинов и производных аденозина, но не свободны от неорганических примесей. Содержание 8 α -(N-ацетил-L-цистеин-S-ил)-FAD (VII) составляет ~70% (определяли спектрофотометрически, принимая величину коэффициента молярного

Спектры поглощения (λ_{\max} , нм ($\varepsilon \cdot 10^4$)) и флуоресценции флавинов при pH 7

Соединение	Спектр поглощения			$\varepsilon_{III}/\varepsilon_I$	$\varepsilon_{III}/\varepsilon_I$	$\lambda_{\max}^{\text{ФЛ}}, \text{нм}$	$I_{\text{отн.}} \%$
	λ_{IV}	λ_{III}	λ_{II}				
8 α -(Цистеин-S-ил)рибофлавин	223(3,01)	268(3,14)	360	445	2,55	0,88	10 * [10]
Рибофлавин	224(3,80)	269(3,10)	368(0,87)	445(1,23)	2,58	0,72	8 ** [17]
8 α -(N-Ацетил-L-цистеин-S-ил)рибофлавин	224(3,36)	268(3,22)	365(0,82)	446(1,23)	2,62	0,67	18
FMN		266(3,18)	373(1,04)	446(1,23)	2,58	0,83	100
8 α -(N-Ацетил-L-цистеин-S-ил)FAD- (VII)		263(4,25)	363(0,98)	450(1,13)	3,77	0,86	528
FAD		263(3,80)	375(0,93)	450(1,13)	3,34	0,82	523

* Относительно рибофлавина, ** 2',3',4',5'-тетра-O-ацетилрибофлавина, *** FAD.

поглощения в максимуме поглощения при 450 нм равной соответствующей величине для FAD при этой же длине волны).

Динатриевая соль 8 α -(N-ацетил-L-цистеин-S-ил)-FAD — вещество темно-коричневого цвета. Строение динуклеотида (VII) подтверждено данными электронного спектра поглощения, ИК- и КД-спектров, а также зависимостью флуоресценции от pH. В результате гидролиза динуклеотида (VII) в кислой среде (0,1 н. HCl, 80° С, 3 ч) количественно определена по реакции с орцином [22] D-рибоза: найдено 1,08 моль D-рибозы на 1 моль динуклеотида. Спектр поглощения в УФ- и видимой области 8 α -(N-ацетил-L-цистеин-S-ил)-FAD (VII) аналогичен спектру FAD (таблица), но имеет гипсохромный сдвиг максимума второй полосы поглощения (от 375 до 363 нм), характерный для 8 α -замещенных флавинов [18]. Увеличение соотношений коэффициентов молярного поглощения $\varepsilon_{III}/\varepsilon_I$ (3,77) (см. таблицу) в спектре поглощения флавина (VII) по сравнению с FAD (3,34), возможно, отражает более слабое, чем у FAD, взаимодействие между флавиновым и адениновым хромофорами в нейтральном водном растворе. Серосодержащий заместитель в положении 8 α изоаллоксазинового цикла динуклеотида (VII) вызывает резкое тушение флуоресценции, характерной для рибофлавина, FMN и FAD, до 10% (таблица, рис. 2). Интенсивность флуоресценции соединения (VII) достигает максимального значения при pH 2,9 и резко падает при повышении pH (рис. 1), что аналогично зависимости изменения интенсивности флуоресценции FAD от pH [23]. Это дает основание предположить, что в нейтральных водных растворах динуклеотид (VII), так же как и FAD, существует в виде внутримолекулярного комплекса. Для динуклеотида (VII) потенциометрическим титрованием 0,05 н. NaOH мы определили следующие значения рK: рK_{a1} 4,7, рK_{a2} 6,47 и рK_{a3} 8,7 (для FAD рK_{a1} 4,55 и 8,75).

В ИК-спектрах флавинов (V) и (VII) имеются полосы поглощения при 975 и 1000 cm^{-1} , отсутствующие в ИК-спектрах FMN и FAD, но характерные для N-ацетил-L-цистеина,

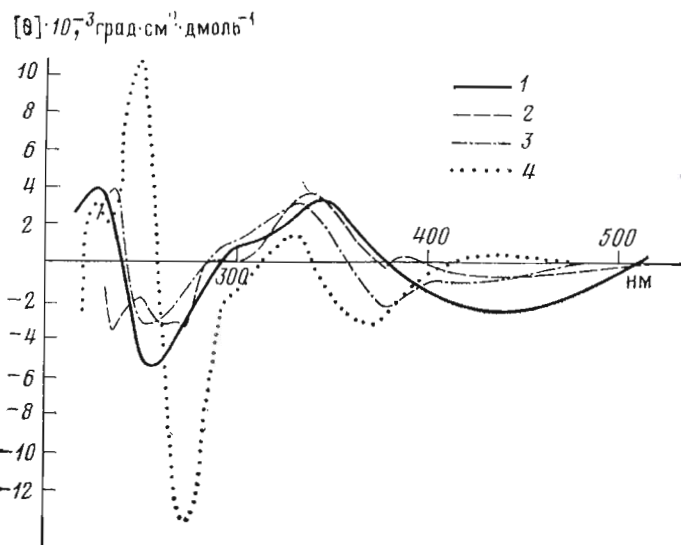


Рис. 3. Спектры КД (H_2O): 1 — 8α -(*N*-ацетил-*L*-цистеин-*S*-ил)-FMN(Ⅴ), 2 — FMN, 3 — 8α -(*N*-ацетил-*L*-цистеин-*S*-ил)-FAD(Ⅶ), 4 — FAD

которые, по-видимому, можно отнести к внеплоскостным деформационным колебаниям гидроксила COOH-группы аминокислотного остатка [24]. В ИК-спектрах флавина (V) и *N*-ацетил-*L*-цистеина наблюдается полоса поглощения при 1250 см^{-1} , относящаяся к валентным колебаниям C—O-связи в ацетатах [24]. Слабую полосу поглощения при $\sim 680 \text{ см}^{-1}$, присущую в ИК-спектре флавина (V), предположительно можно отнести к валентным колебаниям C—S-связи [24]. Полоса поглощения вблизи 1370 см^{-1} относится, вероятно, к аминокислотному остатку положения 8α , так как присутствует в ИК-спектрах флавинов (V) и (VII) и *N*-ацетил-*L*-цистеина, но ее нет в ИК-спектрах FMN и FAD; известно также, что большинство аминокислот и их производных поглощает вблизи 1300 см^{-1} [24]. В ИК-спектре 8α -(*N*-ацетил-*L*-цистеин-*S*-ил)-FAD (VII) наблюдается также полоса поглощения при 944 см^{-1} , отвечающая асимметричным валентным колебаниям P—O—P-связи динуклеотида [24].

Спектр КД 8α -(*N*-ацетил-*L*-цистеин-*S*-ил)-FMN (V) в воде (рис. 3) содержит полосы с отрицательным эффектом Коттона при 254 ($\theta -5700$) и 445 нм ($\theta -3000$), полосу с положительным эффектом Коттона при 345 нм ($\theta +3300$), отвечающие электронным переходам в изоаллоказиновой хромофоре при 268, 365 и 446 нм, а также пизкоинтенсивные полосы при 290–310 нм. Спектр КД флавина (V) идентичен спектру КД 8α -(*N*-ацетил-*L*-цистеин-*S*-ил)-2',3',4',5'-тетра-O-ацетилрибофлавина [17].

Спектр КД 8α -(*N*-ацетил-*L*-цистеин-*S*-ил)-FAD (VII) состоит из положительных полос при 233 ($\theta +3800$) и 333 нм ($\theta +3000$) и отрицательных полос при 255 ($\theta -3200$) и 385 нм ($\theta -2200$) с плечом при 295 нм. В отличие от спектра КД FAD в спектре производного (VII) имеется также экстремум при 395 нм ($\theta -1100$) и широкая отрицательная полоса в области 420–440 нм, которые, по-видимому, отражают взаимодействие аминокислотного остатка положения 8α с остальной частью молекулы флавина (VII). Наличие экстремумов при 233, 255 и 385 нм и подобие спектров КД флавина (VII) и FAD в области 200–400 нм дает основание полагать, что в нейтральных водных растворах динуклеотид (VII) может находиться в стекинг-конформации и иметь структуру внутримолекулярного комплекса, аналогичного FAD [25]. В спектрах КД флавинов (V) и (VII) наблюдается коротковолновый сдвиг в ближней УФ-области по сравнению с FMN и FAD на ~ 20 нм, связанный, вероятно, с наличием заместителя в положении 8α . Уменьшение молярной эллиптичности экстремумов при 233, 255 и 385 нм в спектре КД флавина (VII) указывает, возможно, на ослабление взаимодействия между изоаллоказиновой и адениновой частями флавина (VII) по сравнению с FAD.

Экспериментальная часть

УФ- и видимые спектры поглощения сняты на спектрофотометре Hitachi EPS-3T (Япония) в фосфатном буфере, pH 7, ИК-спектры (таблетки KBr) — на спектрофотометре Perkin — Elmer 180 (США), спектры флуоресценции — на приборе Hitachi MPF-2A ($\lambda_{\text{возб}}$ 445 нм); использовали следующие буферные растворы: глицин — 0,2 М HCl (pH 1,4—3,6), 0,2 М CH₃COONa — 0,2 М CH₃COOH (pH 4—5,6), 0,1 М Na₂HPO₄ — 0,1 М NaH₂PO₄ (pH 6—8), 1 М NaHCO₃ — 1 М Na₂CO₃ (pH 8—10). Спектры КД сняты на дихромографе Jolbin-Yvon Dichrographie III (Франция) в кюветах с длиной оптического пути 1 см (чувствительность $1 \cdot 10^{-6}$). Хроматографию проводили в восходящем потоке на бумаге FN 11 (ГДР) в системах растворителей: пиридин — изобутанол — вода — AcOH, 33 : 33 : 33 : 1 (A), ацетонитрил — вода, 7 : 3 (B) и на силуфоле UV₂₅₄ в системах: пиридин — 2 н. AcOH, 4 : 1 (B), этанол — вода, 4 : 1 (G). Потенциометрическое титрование проводили на приборе pH-340. 2,3,4-ТриацетилFMN (II) получали по методу [26], 8 α -бром-2',3',4'-триацетил-FMN (III) — по методам [15, 16], 4-морфолин-N,N'-дициклокарбоксамидиниевую соль морфолида AMP (VI) — по методу [27].

8 α -(N-Ацетил-L-цистеин-S-ил)-2',3',4'-три-O-ацетил-FMN (триэтиламмониевая соль) (IV) и 8 α -(N-ацетил-L-цистеин-S-ил)-FMN (V). Раствор 2 г 8 α -бром-2',3',4'-три-O-ацетил-FMN (III) и 0,44 г N-ацетил-L-цистеина в 100 мл абс. диметилформамида продували 1 ч очищенным от кислорода азотом, по каплям за 5 мин приливали 1 мл триэтиламина и выдерживали 1 ч при $\sim 20^\circ\text{C}$, пропуская азот. За ходом реакции следили с помощью ТСХ (флавины (III) и (IV) имеют $R_f \sim 0,50$ и 0,52 (A), $\sim 0,90$ (B) соответственно). Реакционную смесь по каплям выливали в 500 мл сухого эфира. Выпавший темно-коричневый маслянистый осадок отфильтровывали, растирали с эфиром и получали 1,7 г смеси флавинов, содержащей 8 α -(N-ацетил-L-цистеин-S-ил)-2',3',4'-три-O-ацетил-FMN (IV). В смеси флавинов обнаружена и триэтиламмониевая соль промежуточного продукта синтеза — 2',3',4'-три-O-ацетил-FMN (II) (R_f 0,76 (A)). 0,6 г этой смеси разделяли на колонке (45×1500 мм) с сефадексом G-10 fine, элюируя вещества водой со скоростью от 1 до 3 мл/мин. Фракции с $\lambda_{\text{макс}}$ 365 нм и R_f 0,30 (A) и 0 (Г) объединяли, фильтровали через фильтр Шотта № 4, обрабатывали н-бутанолом для удаления непрореагировавшего N-ацетил-L-цистеина и упаривали в вакууме при 25—30° С досуха. Сушили в вакууме над P₂O₅. Получали 0,23 г (49%) хроматографически однородного соединения (V) (содержание 60—75%). Электронный спектр поглощения флавина (V) — см. таблицу; ИК-спектр, $\nu_{\text{макс}}$, см⁻¹: 1715, 1665 (C(4)=O, C(2)=O), 1580, 1550 (C=C, C=N), 1370 (COOH), 1250 (C—O), 975 (ОН из COOH-группы), 680 сл. (C—S); pK_{a_1} 4,5, pK_{a_2} 6,4, pK_{a_3} 8,9.

8 α -(N-Ацетил-L-цистеин-S-ил)-FAD (VII). 0,6 г смеси флавинов, полученной в результате реакции 8 α -бром-2',3',4'-три-O-ацетил-FMN (III) с N-ацетил-L-цистеином и содержащей триэтиламмониевую соль 8 α -(N-ацетил-L-цистеин-S-ил)-2',3',4'-три-O-ацетил-FMN (IV) (без разделения на сефадексе), и 0,6 г 4-морфолин-N,N'-дициклокарбоксамидиниевой соли морфолида AMP (VI) тщательно измельчали, растворяли в смеси пиридина и диметилформамида (1 : 1) и выдерживали в токе азота 20 ч при 50° С, охлаждали, добавляли раствор 0,16 г NaClO₄ в 50 мл метилового спирта. Выпавший осадок оставляли на 2—4 ч при 2—5° С, отфильтровывали, промывали метиловым спиртом (3×30 мл), эфиром, сушили в вакууме над P₂O₅ и получали 0,4 г осадка зеленовато-коричневого цвета, в котором при хроматографировании в системе Б обнаружены флуоресцирующие пятна с R_f 0,06; 0,50 и 0,65, соответствующие 8 α -(N-ацетил-L-цистеин-S-ил)-FAD (VII), 8 α -(N-ацетил-L-цистеин-S-ил)-FMN (V) и 8 α -(N-ацетил-L-цистеин-S-ил)рибофлавин-4',5'-циклофосфату, а также пятно красного цвета на старте, предположительно отвечающее продукту димеризации флавинов ($\lambda_{\text{макс}}$ 263 и 475 нм). Спектрофотометрическим методом после элюции определено соотношение компонентов 11 : 23 : 11 : 5. На хро-

матограмме имелись также пятна с R_f 0,32; 0,42 и 0,58, которые, как установлено при хроматографировании со свидетелями, соответствуют FAD, FMN и рибофлавин-4',5'-циклофосфату. Смесь флавинов разделяли на колонке (50×1200 мм) с сефадексом G-25 (подвижная фаза — вода, скорость потока 1—3 мл/мин). Фракции, которые при хроматографировании в системе Г имели R_f 0 и λ_{max} 363 нм в спектре поглощения, упаривали в вакууме при 30° С, затем упаривали с абс. спиртом (2×40 мл), промывали эфиром, сушили. Получали хроматографически однородный 8 α -(N-ацитил-L-цистеин-S-ил)-FAD (VII) с выходом ~11%. Электронный спектр поглощения флавина (VII) — см. таблицу; ИК-спектры, $\nu_{\text{макс}}$, см⁻¹: 1720, 1620 (C(4)=O, C(2)=O), 1580, 1545 (C=C, C=N), 1370 (COOH), 1000 (ОН из COOH-группы), 944 (P—O—P); pK_{a_1} 4,7, pK_{a_2} 6,5, pK_{a_3} 8,7.

ЛИТЕРАТУРА

- Половецкая К. Л. Биохимия, 1953, т. 18, № 4, с. 638—643.
- Половецкая К. Л., Букин В. Н. Укр. биохим. ж., 1955, т. 27, № 3, с. 364—367.
- Boukine V. N. Resumés de Communication, 3 me Congr. Internat. de Biochimie, Bruxelles, 61. Proceeding of the 3rd Intern. Congr. of Biochemistry, Brussel, 1955. N. Y., 1956, p. 260.
- Kearney E. B. J. Biol. Chem., 1960, v. 235, № 3, p. 865—877.
- Walker W. H., Singer T. P. J. Biol. Chem., 1970, v. 245, № 16, p. 4224—4225.
- Ghista S., Hartman U., Hemmerich P. Angew. Chem., 1970, v. 82, № 16, p. 669—670.
- Kearney E. B., Salach J., Walker W. H., Seng R., Singer T. P. Biochem. and Biophys. Res. Commun., 1971, v. 42, № 3, p. 490—496.
- Walker W. H., Kearney E. B., Seng R., Singer T. P. Eur. J. Biochem., 1971, v. 24, № 2, p. 328—331.
- Kearney E. B., Salach J., Walker W. H., Seng R., Kenney W. C., Zeszotek E., Singer T. P. Eur. J. Biochem., 1971, v. 24, № 2, p. 321—327.
- Ghista S., Hemmerich P. FEBS Lett., 1971, v. 16, № 4, p. 229—232.
- Kenney W. C., Singer T. P. J. Biol. Chem., 1977, v. 252, № 14, p. 4767—4772.
- Kenney W. C., Edmondson D. E., Singer T. P. Biochem. and Biophys. Res. Commun., 1973, v. 52, № 2, p. 434—439.
- Yamanaka T. In: Flavins and flavoproteins / Ed. Singer T. P. N. Y.: Acad. Press, 1976, p. 292—301.
- Kenney W. C., McIntire W., Yamanaka T. Biochim. et biophys. acta, 1977, v. 483, № 2, p. 467—474.
- Falk M. C., Edmondson D. E. FEBS Lett., 1974, v. 42, № 1, p. 1—14.
- Falk M. C., McCormick D. B. Biochemistry, 1976, v. 15, № 3, p. 646—653.
- Клинов С. В., Чеботарева Н. А., Курганов Б. И., Литвак Ж. И., Жилина Т. А., Глебова Г. Д., Пекель Н. Д., Березовский В. М. Биоорганическая химия, 1984, т. 10, № 9, с. 1161—1170.
- Хомутова Е. Д., Шапиро Т. А., Мезенцева М. В., Березовский В. М. Хим.-фармацевт. ж., 1967, т. 1, № 1, с. 11—15.
- Kerr S. E. J. Biol. Chem., 1945, v. 159, № 1, p. 211—213.
- Weber G. Biochem. J., 1950, v. 47, № 1, p. 114—119.
- Беллами Л. Инфракрасные спектры сложных молекул. М.: Изд-во иностр. лит., 1963, с. 247, 248, 335, 461, 502, 504.
- Miles D. W., Urry D. W. Biochemistry, 1968, v. 7, № 10, p. 2791—2794.
- Christie S. M. N., Kenner G. W., Todd A. R. J. Chem. Soc., 1954, v. 46, p. 46—52.
- Moffat J., Khorana H. J. Amer. Chem. Soc., 1961, v. 83, № 3, p. 649—653.

Поступила в редакцию
12.III.1984

NUCLEOTIDES, COENZYMES, PHOSPHORIC ESTERS. XXXVI. SYNTHESIS OF COENZYMES OF MONOAMINE OXIDASE

ZHILINA T. A., BEREZOVSKII V. M.

All-Union Vitamin Research Institute, Moscow

8 α -bromo-2',3',4'-triacetyl-FMN reaction with N-acetyl-L-cysteine afforded 8 α -(N-acetyl-L-cystein-S-yl)-FMN. Condensation of 8 α -(N-acetyl-L-cysteine-S-yl)-2',3',4'-triacetyl-FMN triethylammonium salt and 4-morpholine-N,N'-dicyclohexylcarboxamidinium adenosine 5'-phosphomorpholidate gave 8 α -(N-acetyl-L-cystein-S-yl)-FAD, acetylcoenzyme of monoamine oxidase. The structure of the obtained products was confirmed by IR, CD, fluorescence, and absorption spectra in the UV and visible regions.